

АНИЗОТРОПИЯ КРИТИЧЕСКОГО ТОКА ЛЕНТЫ
ИЗ СПЛАВА Nb-Ti

В. С. Высоцкий, В. Р. Карасик

УДК 537.312.62

Исследована зависимость критического тока тонкой ленты из сплава Nb-Ti от величины магнитного поля и взаимной ориентации тока, поля и плоскости ленты. Исследования проведены на коротких образцах и на двух видах бифилиярных конфигураций.

В ряде прикладных задач, в частности для изготовления сверхпроводящих коммутаторов или сильноточных криотронов, необходимо использование сверхпроводящих материалов, в которых сочетались бы высокая плотность критического тока ($\sim 10^5 \text{ A/cm}^2$) и высокое удельное сопротивление в нормальном состоянии ($\sim 10^{-5} \text{ ом.см}$). Обычно в таких случаях используют многожильные композитные провода в матрице из латуни или меди-никеля (сплав Cu-Ni) /1/. Однако для этих же целей можно использовать тонкую ленту из сплава Nb-Ti /1,2/, удельное сопротивление которого при $T > T_c$ порядка 50 мком.см.

Высокая плотность критического тока может быть достигнута применением бифилиярных конфигураций, которые уменьшают собственное поле тока на поверхности ленты. Поскольку в реальных системах ленточный коммутатор или криотрон всегда будет находиться в сильном рассеянном поле, необходимо оценить его влияние на критический ток ленты.

В настоящей работе проведены исследования анизотропии критических токов ленты из сплава Nb-Ti. Лента приготовлялась прокаткой биметаллической заготовки до суммарной толщины 70 мкм. Полученная лента шириной 8-10 см отжигалась, затем нарезалась на куски шириной от 2 до 20 мм. Толщина медного покрытия составляла 10 мкм. От длинной ленты отрезались образцы нужной длины, с которых медь стравливалась на всем протяжении за исключением

концов. Концы образцов облучивались чистым индием и подпаивались к токовым контактам. Измерения критического тока проводились как на коротких образцах, так и на двух разновидностях би-

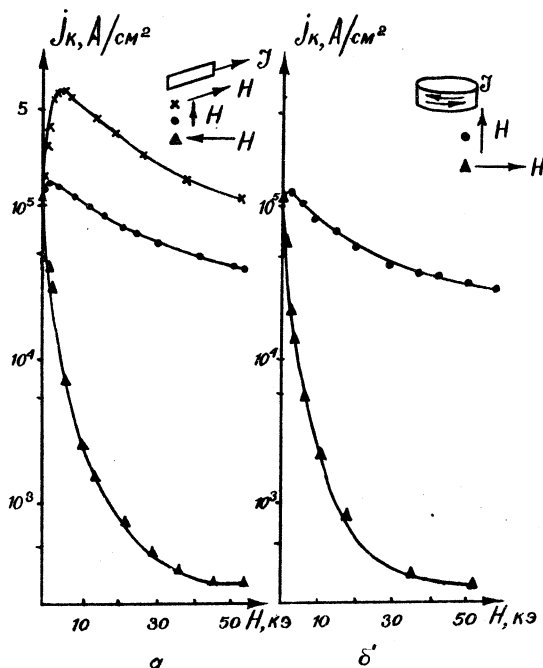


Рис.1. Зависимость критического тока от магнитного поля при различных взаимных направлениях тока, поля и поверхности образца
а) короткий образец; б) бифилярная обмотка в виде галеты

филиарных конфигураций. В одном случае лента складывалась "гармошкой", а в другом - перегибалась пополам и затем наматывалась в виде галеты. Длина коротких образцов составляла 5-10 мм, длина образцов в омфилиарных обмотках ~ 20 см при измерениях критического тока в магнитном поле и ~ 3 м при измерениях без магнитного поля.

Методика измерения зависимости плотности критического тока j_k от напряженности магнитного поля и аналогична описанной в работе /3/. При измерении угловой зависимости $j_k(H, \theta)$ образец поворачивался на некоторый угол и закреплялся во вставке с помощью прокладок, а затем снималась зависимость $j_k(H)$ при данном угле θ .

На рис. 1а показаны зависимости критического тока от магнитного поля коротких образцов ленты для трех взаимных ориентаций тока, поля и поверхности ленты. Когда магнитное поле перпендикулярно току и поверхности ленты, кривая $j_k(H)$ имеет обычный вид и в поле 50 кэ критический ток уменьшается почти на два порядка. Когда же магнитное поле параллельно и току и поверхности ленты, кривая $j_k(H)$ имеет ярко выраженный максимум в малых полях, в котором величина критического тока достигает $7 \cdot 10^5$ А/см² ($j_k(0) \approx 10^5$ А/см²). Такой эффект наблюдался ранее /4-5/ и объясняется бессиловым течением транспортного тока /5/. Наибольший интерес представляет случай, когда магнитное поле перпендикулярно току, но параллельно поверхности образца. В этом случае кривая $j_k(H)$ также имеет максимум, и величина критического тока остается достаточно большой в больших полях. Возможно, текстура, образующаяся при прокатке, приводит к анизотропии миниингцентров, эффективно противостоящих силам, пытающимся сдвинуть вихри Абрикосова, в направлении перпендикулярном плоскости ленты, и слабо — силам, движущим вихри в плоскости ленты.

Альтернативным объяснением может служить привлечение представления о явлении, аналогичном бессиловому течению тока при указанной геометрии.

На рис. 1б показаны кривые $j_k(H)$ для бифилярной обмотки в виде галеты при двух направлениях поля: перпендикулярно и параллельно оси обмотки. Вид кривых $j_k(H)$ и величина критического тока такие же, как и для коротких образцов при соответствующем направлении магнитного поля. Для "гармошек" были получены аналогичные результаты. Таким образом, мы не наблюдали деградации тока при переходе от коротких образцов к длинным. Этот факт подтвердился при измерении критического тока в нулевом поле бифилярных обмоток шириной 5-20 мм и длиной до четырех метров. Во всех случаях величина $j_k(0) = 10^5$ А/см².

На рис.2а показаны зависимости отношения $j_k(\theta)/j_k(0^\circ)$ при постоянных значениях магнитного поля для коротких образцов. Здесь θ – угол между поверхностью образца и магнитным полем, причем

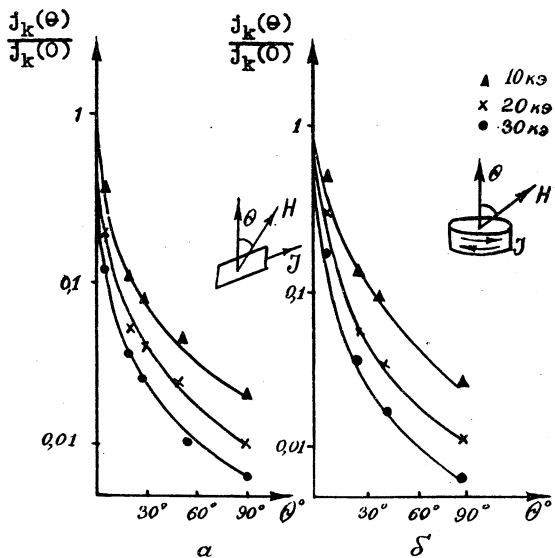
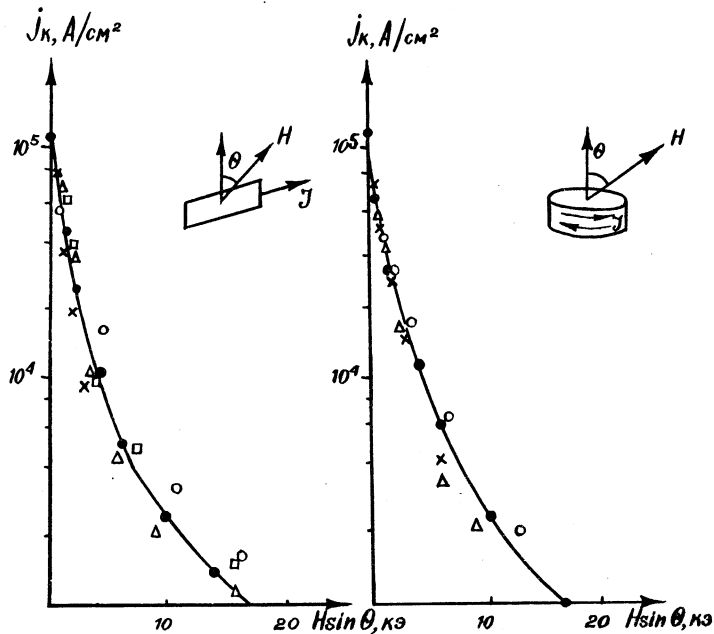


Рис.2. Зависимость критического тока от угла между поверхностью образца и магнитным полем. Магнитное поле постоянно. а) короткий образец; б) бифилярная обмотка в виде галеты

направление тока всегда перпендикулярно полю. (Случай, когда поле и ток лежат в одной плоскости, исследовался в /6/). Видно, что уже при малых углах $\sim 10^\circ$ величина критического тока падает в 10 и более раз. Так же выглядят аналогичные зависимости для бифилярной обмотки, показанные на рис.2б.

На рис.3а,б показаны зависимости критического тока короткого образца и бифилярной обмотки от величины составляющей магнитного поля, перпендикулярной плоскости ленты. Видно, что точки, соответствующие разным углам, лежат вблизи кривой $j_k(H)$ для угла $\theta = 90^\circ$, т.е. можно сделать вывод, что величина критическо-

го тока в наклонном поле определяется перпендикулярной составляющей магнитного поля, которая может быть уменьшена с помощью сверхпроводящих или ферромагнитных экранов /2/.



Р и с.3. Зависимость критического тока от величины нормальной составляющей наклонного магнитного поля, а) короткий образец; $x - 5^\circ$, $\Delta - 16^\circ$, $\square - 28^\circ$, $\circ - 52^\circ$, $\bullet - 90^\circ$; б) бифилярная обмотка в виде галеты, $x - 9^\circ$, $\Delta - 24^\circ$, $\circ - 43^\circ$, $\bullet - 90^\circ$

В заключение авторы благодарят академика Б. М. Вула за интерес к работе и А. В. Анникова и В. А. Мальгинова за помощь в работе, а также Б. Д. Копыловского за ценные советы и полезные дискуссии.

Поступила в редакцию
18 марта 1976 г.